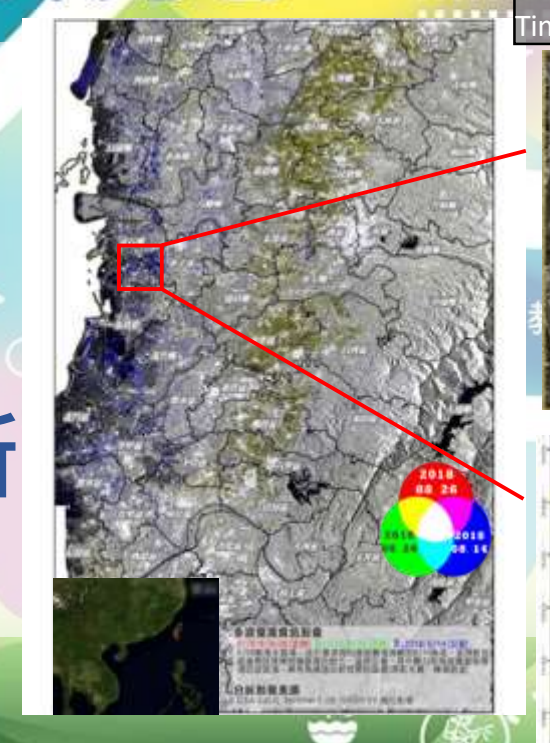


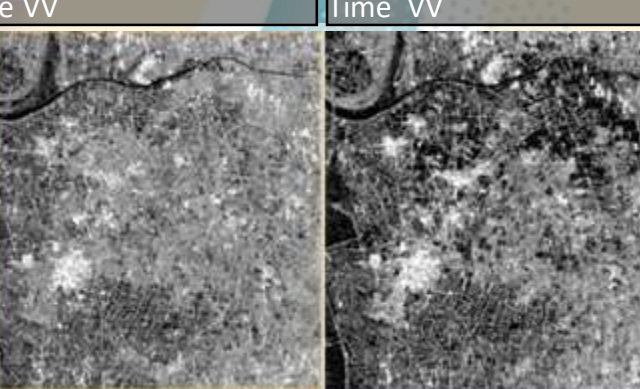
降雨引致大型崩塌與

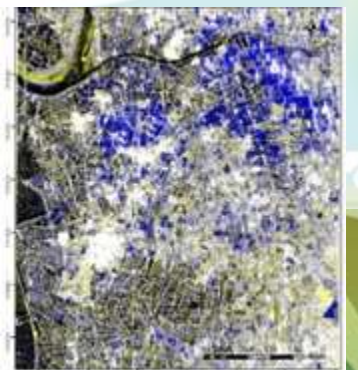
堰塞湖

國立台灣大學地質科學研究所











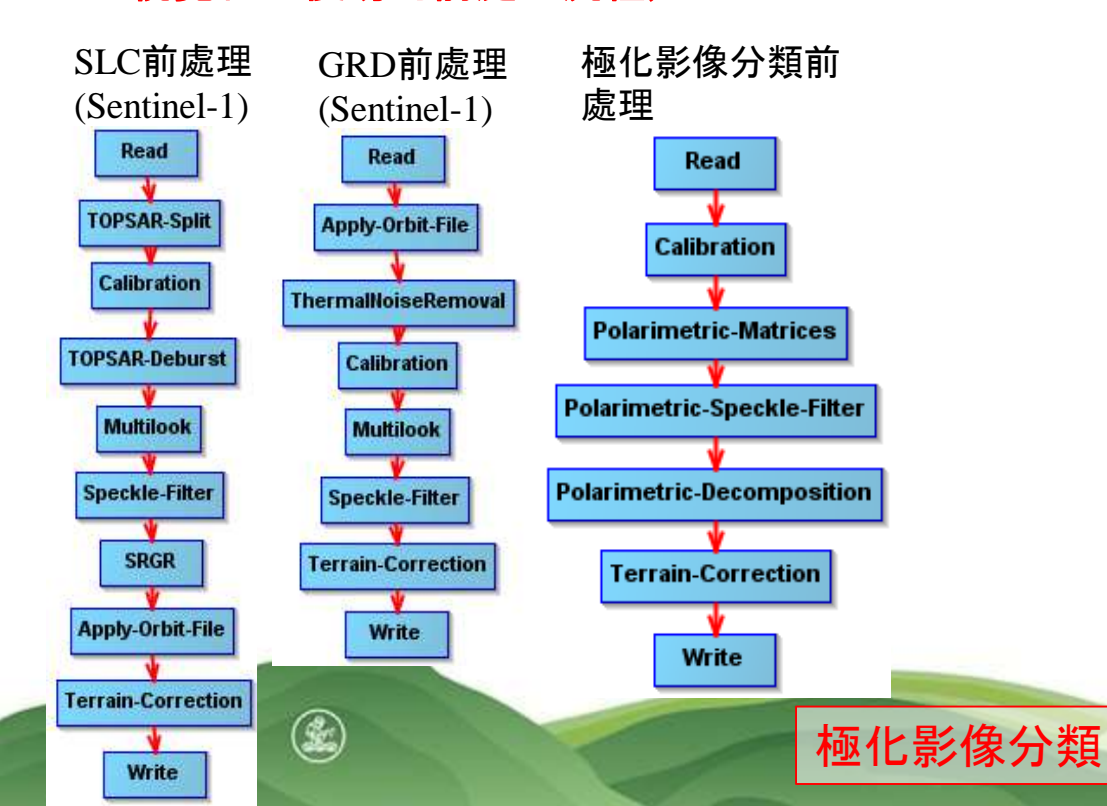
胡植慶、肖晶晶、邱俊穎

Acknowledgements: 行政院

軟體: SNAP (Sentinel Application Platform)

- ➤ SNAP:將複雜的開源碼處理流程,透過圖形化介面提供操作。
- ➤ 三種不同的工具箱: Sentinel-1工具箱, 處理雷達影像; Sentinel-2工具箱, 處理高解析光學影像; Sentinel-3工具箱, 處理中等解析光學影像。
- ▶ 提供更多的處理方案可結合Python、Java開發的套件,擴充原本功能的使用性。
- ▶ 支援多種衛星影像格式,在開源的條件下,未來新衛星影像格式相容性更高。

視覺化且便易的前處理流程建立



支援的雷達影像種類

SENTINEL-1, ENVISAT ASAR, ERS-1/2, RADARSAT-2, ALOS-1/2, Cosmo-Skymed, TerraSAR-X/TanDEM-X

功能種類

- 1. SNAP內包含所有一般性地球觀測資料處理(裁切、重新取樣 影像計算)
- 之. 影像校正(SENTINEL-1, ENVISAT ASAR, ERS 1&2, ALOS, RADARSAT-2, TerraSAR-X, Cosmo-SkyMed)
- 3. 多視處理與斑駁雜訊(單時與多時)濾波
- 4. 精確軌道處理 (SENTINEL-1, Doris, Prare and Delft orb.)
- 5. 複數影像產品的套疊與偵測
- 6. Sentinel-1 TOPS影像的干涉、影像條帶(Burst)去除、切片 影像(slice)合併

InSAR

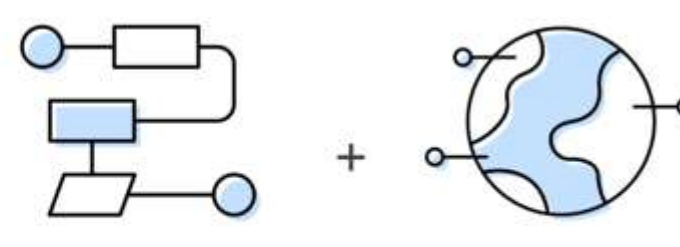
Sigma0

- 7. 都普勒地形校正
- 8. 地形校正期間的輻射標準化
- 9. SAR模擬、疊置和陰影遮罩
- 10.SAR地形校正模擬
- 11. 橢球校正、地圖重新投影、鑲嵌
- 戊.海洋工具:基於SAR資料的基本程序:溢油偵測、船舶偵測 和風場估計
- 75. 完全集成InSAR處理器(Jlinda)可用於條帶模式和零都普勒 聚焦數據
- 14.四波長和雙波長矩陣轉換,斑點濾波,分解和分類器
- 15. 與PolSARpro工具箱兼容(讀取、輸出)

處理平臺: GEE (Google Earth Engine)

▶ 專處理衛星影像和其他地球觀測數據雲端運算平台:存取衛星影像和其他地球觀測數據資料庫中的 資料,並提供足夠的運算能力来處理這些數據。可用於商業用途,且可免費用於學術和研究用途。





您的算法

現實世界中的應用

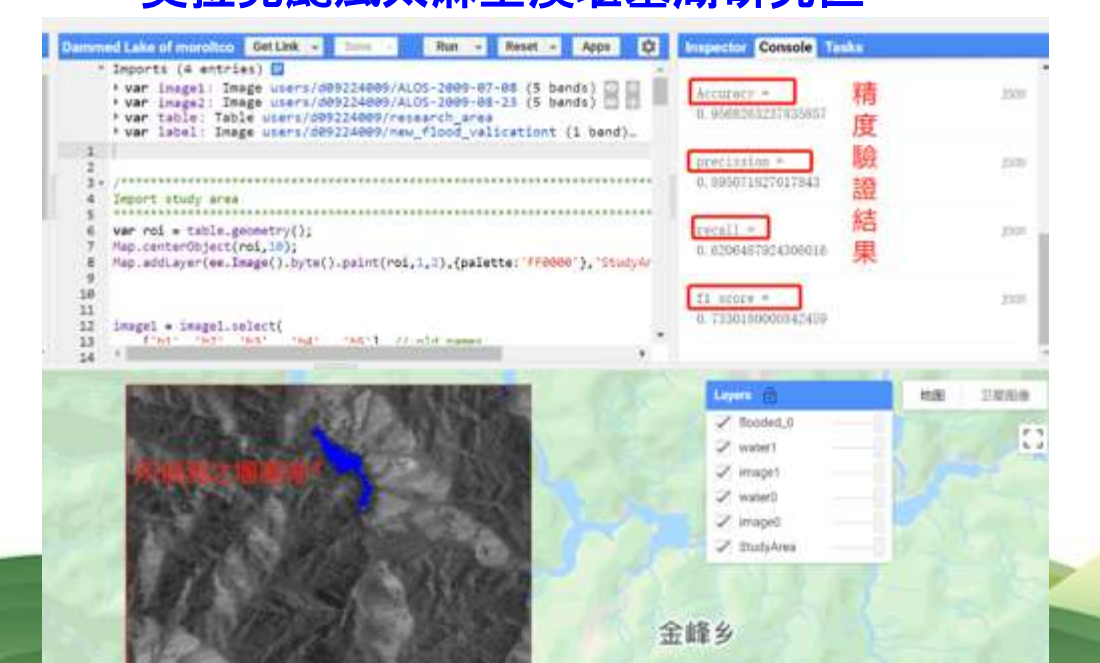
GEE是一個"遙測大數據"析和呈現的平臺

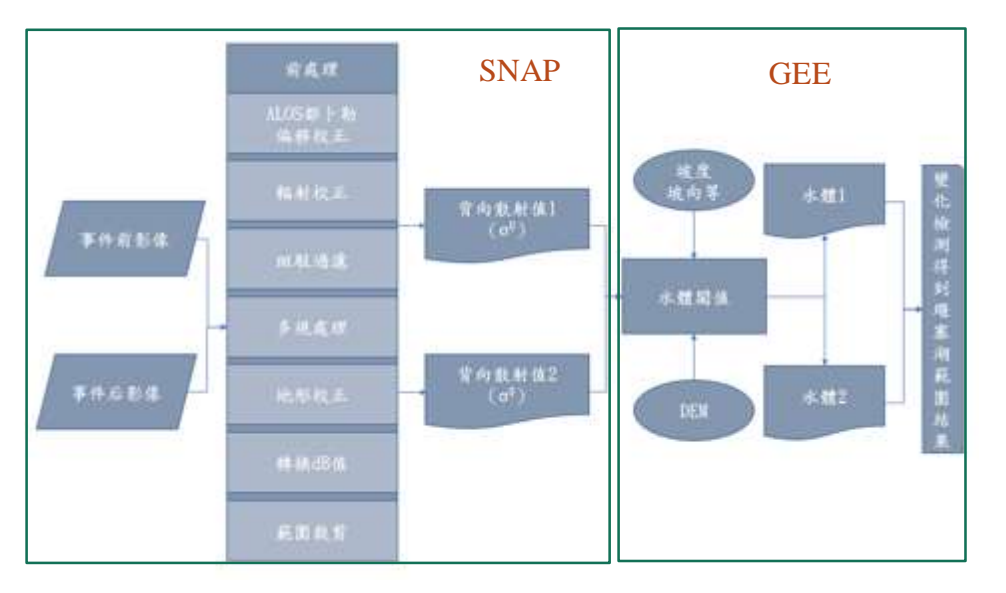
- ightharpoonup GTT上超600多種數據集可調用配合應用程式介面(ATI)
- 面向科研人員而非程式師
- > 免費使用google雲端伺服器的運算能力
- 使遙測處理更加便捷,促使大尺度空間分析研究變得簡單

案例分析:Google Earth Engine偵測2009年莫拉克颱風於臺東太麻里溪 之堰塞湖



莫拉克颱風太麻里溪堰塞湖研究區

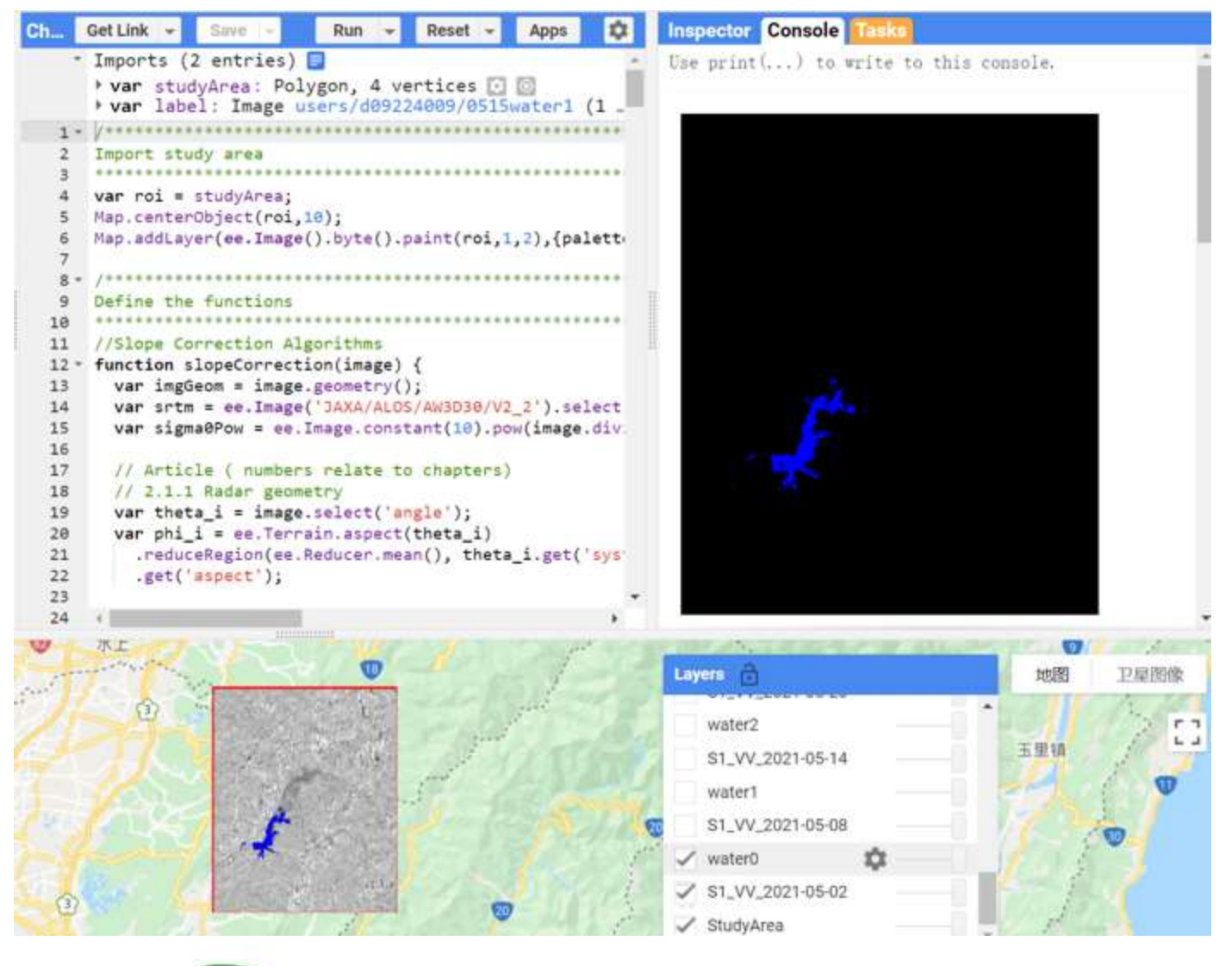




莫拉克颱風太麻里溪堰塞湖辨識處理流程

- ➤ 基於Google Earth Engine的2009年莫拉克颱 風於臺東太麻里溪之堰塞湖雷達影像辨識 成果
- ▶ 優勢:突破了硬體的設備的限制,能更快速的得到堰塞湖偵測結果,且人工修改閾值更為直觀方便,能立馬顯示閾值調整後所得影像結果。

案例分析:2021年曾文水庫梅雨前後的水體範圍變化





優勢:通過GEE使用大津法 减少人工閾值的選擇,并且 可以進行實時的水體範圍變 化動態監測

https://onleanthengine.google.com/f988a8579ca86dcfd33ff693a85a7c69



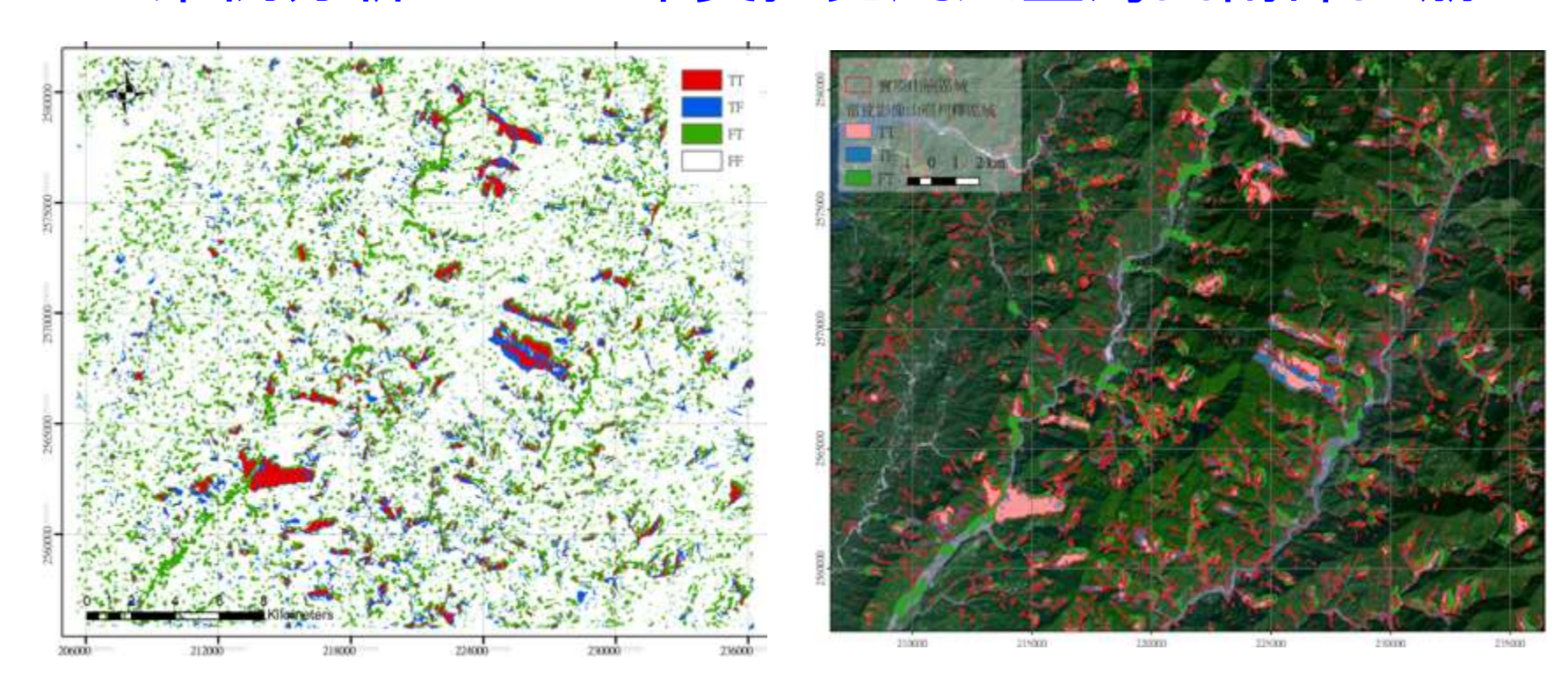


雷達衛星影像於強降雨後大型崩塌之偵測實作

GEE偵測崩塌方法流程圖



案例分析:2009年莫拉克颱風臺灣西南部山崩



➤ RVI變化大於2dB作為門檻判釋山崩

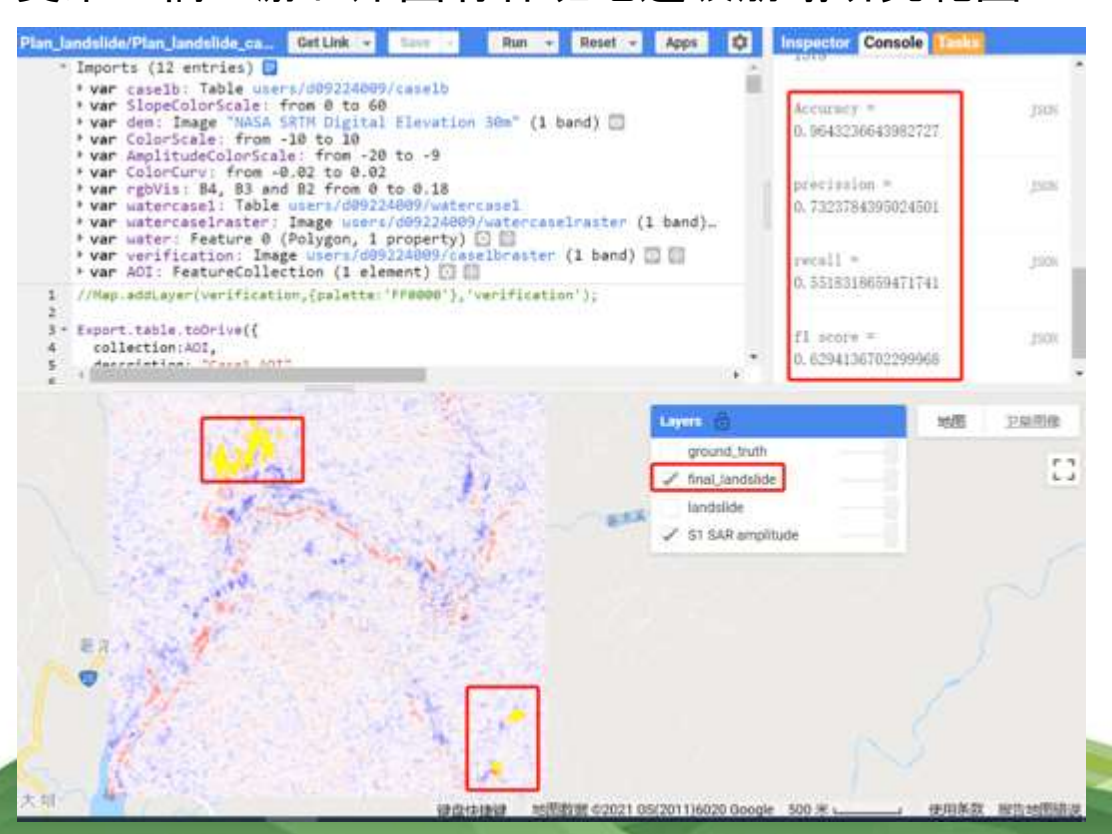
➤ Backscattering coefficient difference判釋山崩

- 1. 成功辨識的山崩:90%面積大於0.13平方公里,而無法辨識的山崩面積較小,90%面積小於0.016平方公里。
- 2. 準確率= 89.9%, 精確率= 32.1%, 召回率= 31.9%, F1-Measure= 32.0% 和Kappa= 26.6%。
- 3. Backscattering coefficient difference進行山崩判釋: <u>非山崩被辨識為山崩的範圍已經大幅減少</u>。此分析方法雖提高辨識準確性,卻使得<u>較小區域的山崩無法被辨識出來</u>。
- 4. 在**河道區域**有些較大區域被判釋出來,**這些地方並非實際山崩區域,而是屬於莫拉克颱風過後,河道明顯** 有變化的區域。

案列一:基於多期雷達影像偵測盧碧颱風之寶來崩塌地



寶來一橋上游右岸國有林班地邊坡崩塌研究範圍

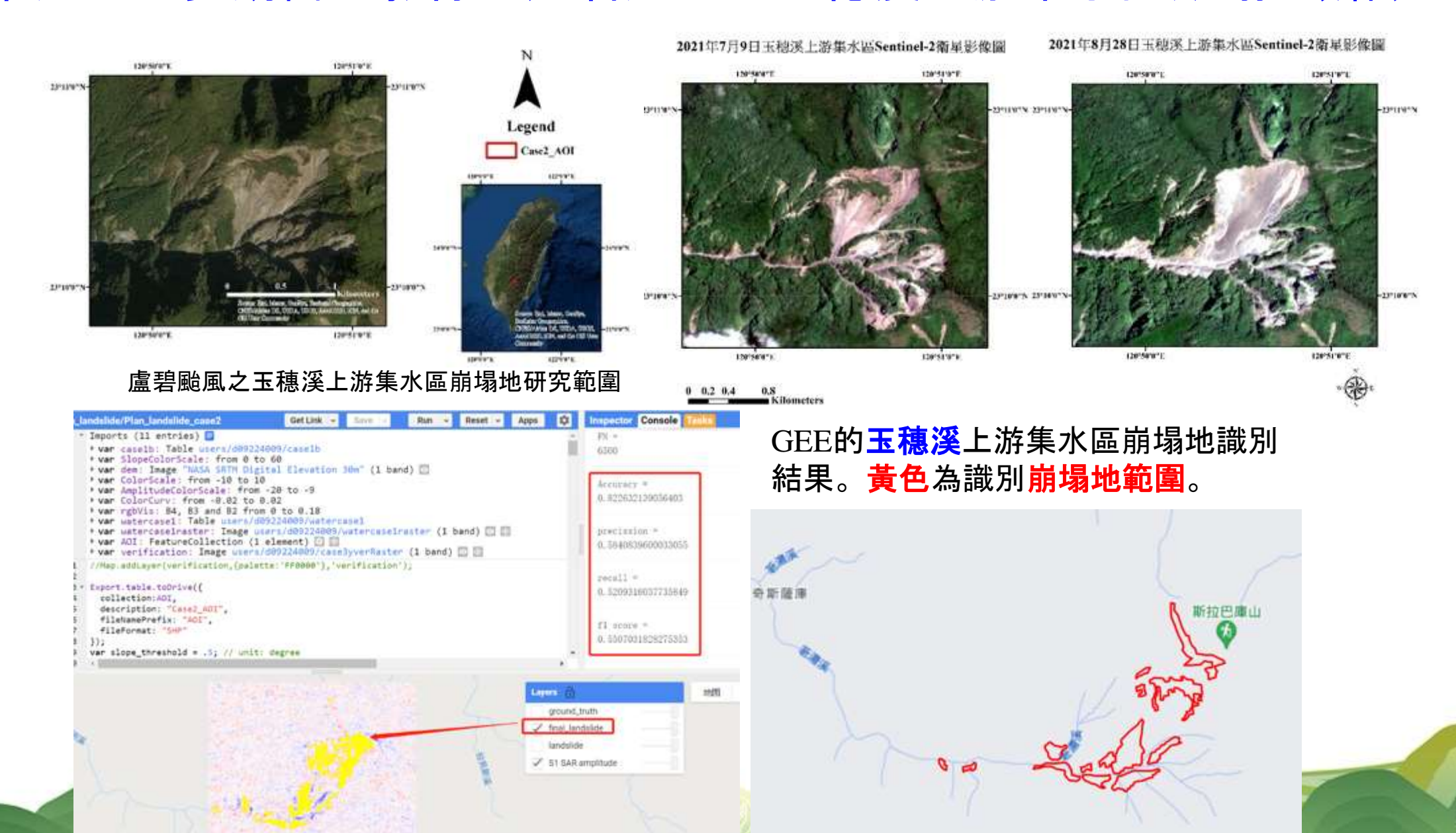




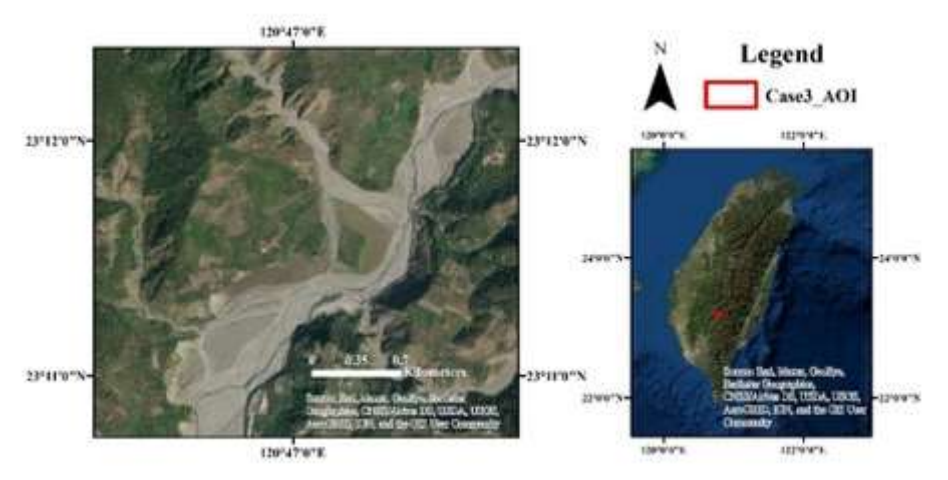
► GEE的寶來一橋上游右岸國有林班地邊坡崩塌識別。**黃色**為識別<mark>崩塌地</mark>範圍。



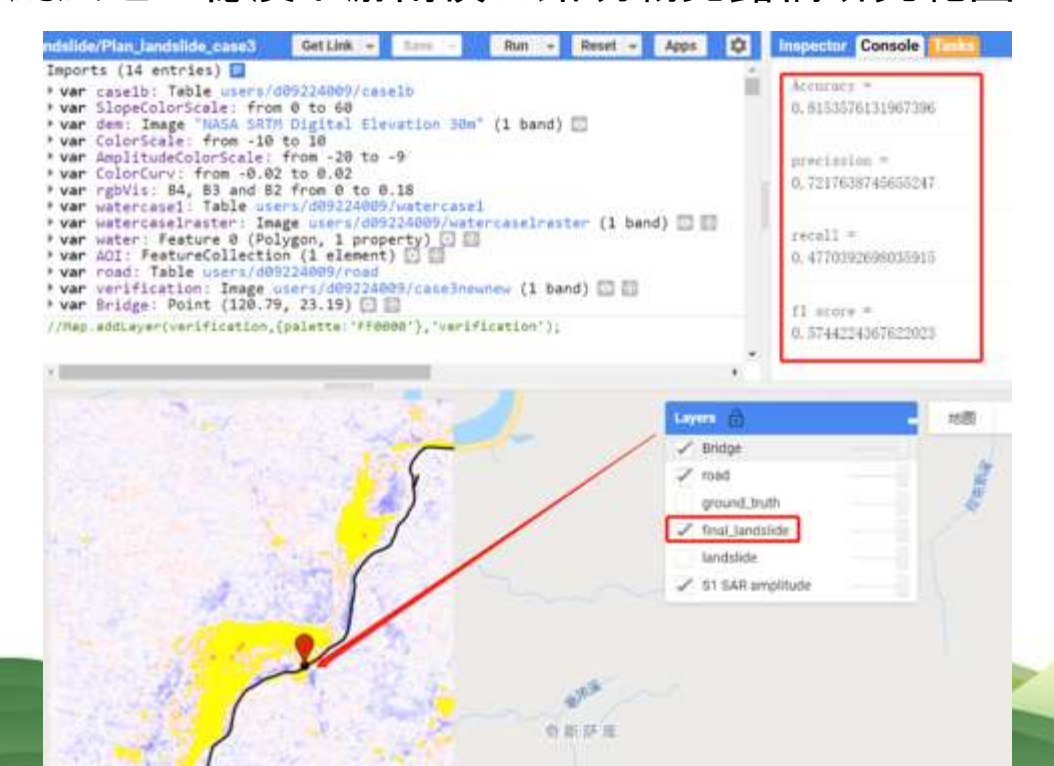
案列二:多期雷達影像於盧碧颱風之玉穗溪上游集水區崩塌地辨識



案列三:多期雷達影像偵測盧碧颱風之玉穗溪下游明霸克露橋沖毀事件

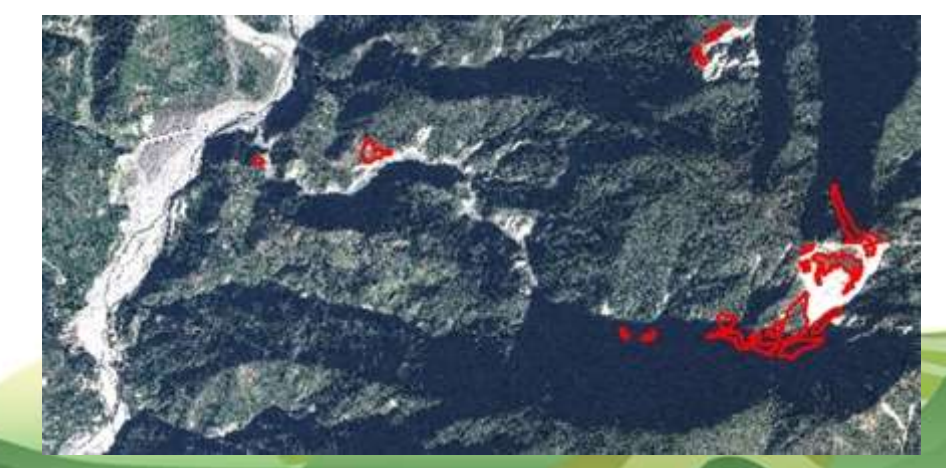


盧碧颱風之玉穗溪下游南橫公路明霸克露橋研究範圍





▶ 盧碧颱風之玉穗溪下游南橫公路明霸克露橋沖 毀研究結果。黃色為識別河道堆積變異或崩塌 地範圍。黑色線段爲南橫公路部分區域,紅點 定位爲明霸克露橋。



總結

- ➤ 本計劃使用Google Earth Engine (GEE)開源雲端平臺及雷達影像用於強降雨引致的 堰塞湖、溢淹、崩塌等災害之變遷偵測,有助於減災應急反應
- 堰塞湖研究部分主要基於雷達影像發生堰塞湖事件前後背散射係數發生變化的原理, 通過開源雲端平臺GEE採用閾值法進行堰塞湖偵測, 偵測的精確指標準確率大於 90%
- ▶ 通過開源雲端平臺GEE基於山崩事件前後雷達影像振幅變化對堰塞湖與崩塌地偵測 識別進行快速流程化自動處理,結果顯示偵測的精確指標準確率大於80%
- ▶ 應急反應(Quick Response):針對堰塞湖、溢淹、崩塌地變遷偵測和判釋,應蒐集並整理目前常用的雷達衛星資訊,就其波長、解析度、穿透特性、偏極特性、再訪週期、影像取得、費用等,評估不同災害所需之規格(包含處理等級)及可行性



報告完畢敬請指教





